

# International Scientific Journal Theoretical & Applied Science

p-ISSN: 2308-4944 (print) e-ISSN: 2409-0085 (online)

Year: 2015 Issue: 09 Volume: 29

Published: 30.09.2015 <http://T-Science.org>**Sergey Alexandrovich Mishchik**

Associate Professor, Candidate of Pedagogical Science,

Corresponding member of International Academy TAS,

Assistant professor Department of Physics,

State Maritime University Admiral Ushakov, Russia,

[sergei\\_mishik@mail.ru](mailto:sergei_mishik@mail.ru)

## SECTION 21. Pedagogy. Psychology. Innovation in Education.

### SYSTEM TASKS KINEMATIC OF APPLIED PHYSICS SEA FLEET

**Abstract:** Suggested physical and mathematical modeling of a holistic system of life-through the use of twelve-pointed star as the lead Ertsgamma morphogenetic processes regarding psychological and pedagogical activity theory, psychological and pedagogical system analysis and the theory of the formation of mental actions. The application of the fundamental theorems of kinematics forward , rotary , flat and complex movements in extreme conditions on the sea fleet.

**Key words:** pedagogometrika, consistency, integrity, stakeholders, personality analysis, twelve star Ertsgamma, the adjustable steam, theorems of kinematics , forward , rotary , flat , complex , movement , extreme, sea fleet.

**Language:** Russian

**Citation:** Mishchik SA (2015) SYSTEM TASKS KINEMATIC OF APPLIED PHYSICS SEA FLEET. ISJ Theoretical & Applied Science 09 (29): 156-161.

Soi: <http://s-o-i.org/1.1/TAS-09-29-30> Doi:  <http://dx.doi.org/10.15863/TAS.2015.09.29.30>

УДК 372.851

### СИСТЕМНЫЕ ЗАДАЧИ КИНЕМАТИЧЕСКОЙ ПРИКЛАДНОЙ ФИЗИКИ МОРСКОГО ФЛОТА

**Аннотация:** Предложено физико-математическое моделирование целостно-системной жизнедеятельности через применения двенадцати конечной звезды Эрцгаммы в качестве ведущего формообразовательного процесса относительно психолого-педагогической теории деятельности, психолого-педагогического системного анализа и теории формирования умственных действий. Рассматривается применение основных теорем кинематики поступательного, вращательного, плоского и сложного движений в процессе экстремальных условий на морском флоте.

**Ключевые слова:** педагогометрика, системность, целостность, субъект деятельности, личность, анализ, двенадцать, звезда Эрцгаммы, образовательная пара, теоремы кинематики, поступательное, вращательное, плоское, сложное, движение, экстремальность, морской флот.

Системные задачи кинематической прикладной физики морского флота отражают целостно-системное моделирование основных элементов транспортных объектов. При этом идёт ориентация на единство базисных характеристик предметных и исполнительных условий относительно предмета содержания и способа его реализации. Предложено физико-математическое моделирование целостно-системной жизнедеятельности через применения двенадцати конечной звезды Эрцгаммы в качестве ведущего формообразовательного процесса относительно психолого-педагогической теории деятельности, психолого-педагогического системного анализа и теории

формирования умственных действий. Рассматривается применение основных теорем кинематики о равномерном, ускоренном, поступательном и вращательном относительном, переносном и абсолютном движении в процессе экстремальных условий на морском флоте [1,2,3,4,10].

В процессе решения системных задач кинематической прикладной физики морского флота необходимо применять основные положения теории деятельности, системного анализа и теории формирования интеллекта [5,6,7].

Системный анализ предполагает выполнение последовательности системных

## Impact Factor:

ISRA (India) = 1.344  
 ISI (Dubai, UAE) = 0.829  
 GIF (Australia) = 0.356  
 JIF = 1.500

SIS (USA) = 0.912  
 РИНЦ (Russia) = 0.179  
 ESJI (KZ) = 1.042  
 SJIF (Morocco) = 2.031

ICV (Poland) = 6.630

аналитических действий: выделить объект анализа – кинематическую задачу прикладной физики морского флота (КЗПФМФ) как систему; установить порождающую среду КЗПФМФ; определить уровни анализа КЗПФМФ; представить целостные свойства КЗПФМФ относительно пространственных, и временных характеристик и их комбинаций; выделить структуру уровня анализа КЗПФМФ; установить структурные элементы уровня анализа КЗПФМФ; определить системообразующие связи данного уровня анализа КЗПФМФ; представить межуровневые связи анализа КЗПФМФ; выделить форму организации КЗПФМФ; установить системные свойства и поведение КЗПФМФ [8,9].

### Задача 1

Два судна А и В (Рисунок 1) идут взаимно перпендикулярными курсами с постоянными скоростями, равными по величине 20 узлам (узел — единица скорости, равная мили в час). Определить закон изменения расстояния  $s$  между ними, если в начальный момент суда занимали положения  $A_0$  и  $B_0$ , причем  $OA_0 = OB_0 = 3$  мили.

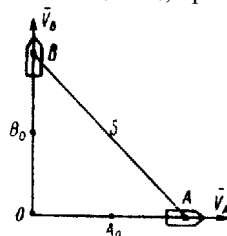


Рисунок 1 – Расхождение судов.

Ответ:  $s = \sqrt{2}(3 + 20t)$  миль ( $t$  — в часах)

### Задача 2

Курсы двух судов А и В, (Рисунок 2) идущих с постоянными скоростями  $V_A=25$  узлов и  $V_B=15$  узлов, пересекаются в точке О под прямым углом. Определить, в какой момент времени  $t_1$  расстояние  $s$  между судами будет наименьшим, а также момент времени  $t_2$ , когда это расстояние снова станет равным начальному расстоянию  $A_0B_0 = s_0$ , если  $OA_0 = 2,2$  мили, а  $OB_0 = 2$  мили.

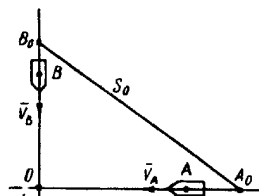


Рисунок 2 – Сближение судов.

Ответ:  $t_1 = 6$  мин;  $t_2 = 12$  мин.

### Задача 3

Из пункта А, находящегося на берегу моря, (Рисунок 3) нужно попасть в пункт В, отстоящий от берега на расстоянии 9 км. В каком пункте С нужно высадиться на берег со шлюпки, идущей со скоростью  $V_1 = 1,5$  м/с, чтобы в кратчайшее

время прибыть в пункт В, если средняя скорость ходьбы  $V_2=1,2$  м/сек, а расстояние АВ = 41 км?

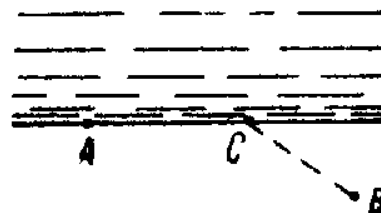


Рисунок 3 - Высадка на берег.

Ответ:  $AC = 28$  км.

### Задача 4

Человек получил задание в кратчайшее время добраться из пункта А, (Рисунок 4) находящегося на берегу, на остров В, отстоящий от берега на расстоянии 17,3 км. В каком месте С человек должен пересесть на катер, если скорость катера 36 км/час, а скорость автомобиля, на котором он передвигался по участку АС, равна 72 км/час?

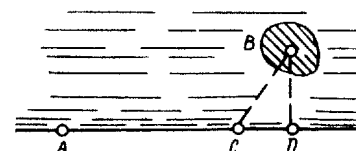


Рисунок 4 - Кратчайший маршрут.

Ответ:  $DC = 10$  км.

### Задача 5

Брандспойт имеет расход воды  $q$  м<sup>3</sup>/с. Площадь отверстия брандспойта равна  $\sigma$  м<sup>2</sup>. Под каким углом  $\alpha$  следует направить струю, чтобы она падала на расстоянии  $s$  метров? Указание. Считать, что капли воды летят независимо друг от друга с ускорением свободного падения. Начальную скорость определить исходя из расхода.

Ответ:

$$\alpha = \frac{1}{2} \arcsin \frac{gs\sigma^2}{q^2} \quad (g = 9,8 \text{ м/сек}^2)$$

### Задача 6

Движение судна задано уравнениями  $\varphi = \pi - kt$ ;  $\psi = kt$ , где  $\varphi$  — долгота;  $\psi$  — широта места, занимаемого судном на земной поверхности;  $k$  — постоянная величина. Определить скорость и ускорение судна в любой момент времени. Сферическая координата  $\theta$  будет равна  $\frac{\pi}{2} - \psi$ , так как широта отсчитывается от экватора.

Ответ:  $v = kR\sqrt{1 + \cos^2 kt}$ ,

$w = k^2 R \sqrt{4 + \sin^2 kt}$ , где  $R$  — радиус Земли.

### Задача 7

Судно движется равномерно со скоростью  $v$ , образующей с географическим меридианом постоянный угол  $\alpha$ . (Рисунок 5) Принимая судно за точку, определить величину его ускорения в функции угла  $\vartheta$ , заключенного между осью Земли

## Impact Factor:

<b>ISRA (India)</b>	<b>= 1.344</b>	<b>SIS (USA)</b>	<b>= 0.912</b>	<b>ICV (Poland)</b>	<b>= 6.630</b>
<b>ISI (Dubai, UAE)</b>	<b>= 0.829</b>	<b>РИНЦ (Russia)</b>	<b>= 0.179</b>		
<b>GIF (Australia)</b>	<b>= 0.356</b>	<b>ESPI (KZ)</b>	<b>= 1.042</b>		
<b>JIF</b>	<b>= 1.500</b>	<b>SJIF (Morocco)</b>	<b>= 2.031</b>		

и радиусом, проведенным из ее центра в точку, занимаемую судном.

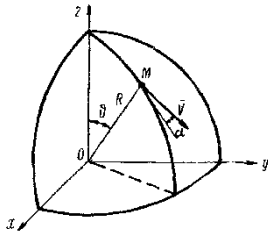


Рисунок 5 – Движение судна.

$$w = \frac{v^2}{R} \sqrt{1 + \sin^2 \alpha \operatorname{ctg}^2 \theta}, \text{ где}$$

R — радиус Земли.

### Задача 8

Якорная цепь (Рисунок 6) сматывается с неподвижного барабана брашпилля радиусом R, все время оставаясь в натянутом состоянии. Определить уравнение движения по траектории точки якорной цепи, находившейся в начальный момент времени на барабане брашпилля, если угол  $\varphi$ , определяющий положение радиуса, проведенного в точку N схода, задан как возрастающая функция времени ( $\varphi' > 0$ ).

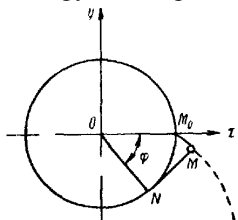


Рисунок 6 - Якорная цепь.

$$\text{Ответ: } s(t) = \frac{R[\varphi(t)]^2}{2}$$

### Задача 9

При прямолинейном движении судна его скорость в пункте А была 10 узлов, а в пункте В стала 30 узлов. Расстояние между пунктами А и В равно 2 милям. Считая в первом приближении движение судна равноускоренным, определить время T движения судна на данном расстоянии, а также величину его ускорения (узел — единица скорости, равная милю в час или 0,5144 м/сек).

Ответ: T = 6 минут; a = 220 узлов/час.

### Задача 10

Скорость катера задана графически. (Рисунок 1) Определить его максимальную скорость, если он прошел расстояние s = 0,5 мили за время T = 2 мин.

Ответ:

$$v_{\max} = \frac{2s}{T} = 30 \text{ узл.}$$

### Задача 11

При проворачивании гребного вала угол его поворота пропорционален кубу времени. Зная,



Рисунок 7 – Скорость катера.

что вал за время  $t_* = 4$  сек сделал N=10 полных оборотов, определить уравнение движения точки лопасти винта, отстоящей от оси вращения на расстоянии  $\ell = 0,4$  м, а также скорость и ускорение точки в этот момент времени.

$$\text{Ответ: } v|_{t=t_*} = \frac{6\pi l N}{t_*} = 18,85 \text{ м/сек};$$

$$w|_{t=t_*} = \frac{12\pi l N}{t_*^2} \sqrt{1 + 9\pi^2 N^2} = 888 \text{ м/сек}^2.$$

### Задача 12

Величина скорости судна, движущегося прямолинейно, за 2 мин уменьшилась с 30 до 5 узлов. Считая, что величина ускорения при этом была пропорциональна квадрату скорости, определить величины скорости и ускорения судна к концу четвертой минуты.

Ответ:  $v = 2,73$  узла,  $a = 37,1$  узл/час

### Задача 13

В течение 20 сек скорость судна, совершающего движение по дуге круга радиусом 200 м, падает с 15 м/сек до 12 м/сек. Предполагая, что величина касательного ускорения судна в рассматриваемом промежутке времени пропорциональна квадрату скорости, определить пройденный им путь за первые 10 с.

Ответ:  $s = 141$  м.

### Задача 13

Угол поворота винта судна диаметром 120 см изменяется по закону  $\varphi = 10\pi t$  радиан ( $t$  — в секундах). Судно движется прямым курсом с постоянной скоростью, равной 10 м/сек. Определить радиус кривизны траектории точки винта, наиболее удаленной от оси

Ответ:  $r = 0,77$  м.

### Задача 13

Крен судна на спокойной воде описывается

уравнением  $\varphi = \frac{\pi}{18} \cos \frac{\pi t}{10}$  ( $t$  — в секундах,  $\varphi$  — в радианах). Определить моменты времени, в которые судно имеет максимальный крен, и моменты, когда его угловая скорость достигает максимальных значений, а также промежутки времени, когда вращение судна ускоренное и когда замедленное.

Ответ: При  $t=20$  секунд судно возвращается в первоначальное положение, и процесс качки повторяется.

### Задача 14

Гребной винт судна, имевший угловую скорость  $\omega_0 = 20\pi$  рад/с, останавливается через 20 сек вследствие сопротивления воды и трения в подшипниках. Считая вращение винта равнопеременным, определить угловое ускорение и число оборотов винта до остановки.

Ответ:  $N = 200$  оборотов.

### Задача 15

Ротор турбины имел угловую скорость, соответствующую 3600 об/мин. Вращаясь затем



## Impact Factor:

ISRA (India) = 1.344	SIS (USA) = 0.912	ICV (Poland) = 6.630
ISI (Dubai, UAE) = 0.829	РИНЦ (Russia) = 0.179	
GIF (Australia) = 0.356	ESPI (KZ) = 1.042	
JIF = 1.500	SJIF (Morocco) = 2.031	

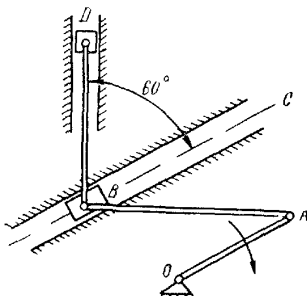


Рисунок 11 - Парораспределительный механизм.

Ответ:  $v_B = r\omega_0 \frac{\sqrt{3}}{3}$ ;  $v_D = \frac{r\omega_0 \sqrt{3}}{6}$ .

### Задача 25

Судно движется на юго-восток со скоростью  $U$ . Флюгер на судне составляет угол  $90^\circ$  с его диаметральной плоскостью, причем ветер дует с левого борта. Определить истинную скорость ветра и его направление, если относительная скорость ветра равна скорости судна.

Ответ: ветер дует с севера со скоростью  $v = u\sqrt{2}$ .

### Задача 26

Определить величину абсолютной скорости точки ротора паровой турбины, ось которой горизонтальна и лежит в диаметральной (продольной) плоскости судна, идущего со скоростью 40 узлов (узел — единица скорости, равная 1 милье в час, или 0,5144 м/сек). Расстояние данной точки до оси вращения равно 60 см. Ротор делает 3000 об/мин.

Ответ:  $v = 189$  м/сек.

### Задача 27

Судно, двигаясь с постоянной скоростью, испытывает бортовую качку, имея в данный момент угловую скорость  $\omega = 0,5$  рад/с. Определить в этот момент ускорение Кориолиса наивысшей точки на окружности диска турбины

радиусом 0,8 м, если он делает 3000 об/мин вокруг горизонтальной оси, лежащей в диаметральной (продольной) плоскости судна.

Ответ:  $\underline{ac}$  направлено по радиусу диска;  $\underline{ac} = 251$  м/с<sup>2</sup>.

### Задача 28

Судно испытывает кильевую качку согласно уравнению  $\varphi = \frac{\pi}{18} \sin \frac{\pi t}{10}$ . Определить наибольшее значение ускорения Кориолиса точек ротора, совершающего 6000 об/мин, если его ось вращения горизонтальна и лежит в диаметральной плоскости судна. Радиус ротора равен 40 см.

Ответ:  $\underline{ac} = 8/9\pi^3$  м/с<sup>2</sup>.

### Задача 29

Флюгер корабля, двигавшегося на север, отклоняется из-за ветра и составляет с направлением движения корабля угол  $135^\circ$ , отсчитываемый против хода часовской стрелки. При изменении курса корабля на северо-восток угол между направлениями движения корабля и

флюгера стал равным  $\varphi = \pi - \arctg \frac{\sqrt{2}}{2}$ . Определить истинное направление ветра, считая, что величина скорости корабля при изменении курса сохранилась прежней. Указание. Проектировать векторные уравнения на направления северо-восток и северо-запад.

Ответ: ветер дует с юго-востока.

### Задача 30

Два корабля идут прямыми расходящимися курсами, образующими между собой угол  $\alpha$ . Скорость одного корабля равна  $V_1$ . Какую скорость  $V_2$  должен иметь второй корабль, чтобы первый находился все время у него на траверсе, т. е. на перпендикуляре к его курсу? С какой скоростью  $U$  будет увеличиваться при этом расстояние между кораблями?

Ответ:  $v_2 = v_1 \cos \alpha$ ;  $u = v_1 \sin \alpha$ .

## References:

1. Mishchik SA (2014) Pedagogometrika and mathematical modeling educational activity. Materiały Mezhdunarodnoj nauchnoj konferencii "European Science and Education" – 30.07.2014. ISJ Theoretical & Applied Science 6(15): 72-74 Marseille, France. doi: <http://dx.doi.org/10.15863/TAS.2014.07.15.10>
2. Mishchik SA (2014) Simulation training activity methods of mathematical logic. Materiały Mezhdunarodnoj nauchnoj konferencii "European Science and Education" – 30.07.2014. ISJ Theoretical & Applied Science 6(15): 72-74 Marseille, France. doi: <http://dx.doi.org/10.15863/TAS.2014.07.15.13>
3. Mishchik SA (2014) Mathematical modeling system integrity-cycle of life activity – first goal pedagogometriki. Materiały Mezhdunarodnoj nauchnoj konferencii "European Science and Education" – 30.07.2014. ISJ Theoretical & Applied Science 6(15): 72-74 Marseille, France. doi: <http://dx.doi.org/10.15863/TAS.2014.07.15.14>

- konferenctsii "European Applied Sciences" – 30.08.2014. ISJ Theoretical & Applied Science 7(16): 77-79. Aix-en-Provence, France. doi: <http://dx.doi.org/10.15863/TAS.2014.08.16.13>
4. Mishchik SA (2014) Mathematical modeling system integrity-curricular activities – the second problem pedagogometriki. Materialy Mezhdunarodnoy nauchnoy konferenctsii "European Innovation" – 30.09.2014. ISJ Theoretical & Applied Science 9(17): 126-128 Martigues, France. doi: <http://dx.doi.org/10.15863/TAS.2014.09.17.21>
5. Mishchik SA (2014) Mathematical modeling holistic-systemic communicative activity – the third task pedagogometriki. Materialy Mezhdunarodnoy nauchnoy konferenctsii "European Scientific Achievements" – 30.10.2014. ISJ Theoretical & Applied Science 10(18): 45-47 Brighton, UK. doi: <http://dx.doi.org/10.15863/TAS.2014.10.18.11>
6. Mishchik SA (2014) Mathematical modeling integrity - system performance subject – fourth task pedagogometriki. Materialy Mezhdunarodnoy nauchnoy konferenctsii "European Science and Technology" – 30.11.2014. ISJ Theoretical & Applied Science 11(19): 51-54
7. Tokmazov GV (2014) Matematicheskoe modelirovanie v uchebno-professional'noy deyatel'nosti. Materialy Mezhdunarodnoy nauchnoy konferenctsii «Modern mathematics in science» - 30.06.2014. ISJ Theoretical & Applied Science 6(14): 44-46. - Caracas, Venezuela. doi: <http://dx.doi.org/10.15863/TAS.2014.06.14.8>
8. Tokmazov GV (2014) Analysis says study skills in the study of mathematics// Materialy Mezhdunarodnoy nauchnoy konferenctsii "European Science and Education" - 30.07.2014. ISJ Theoretical & Applied Science 6(15): 72-74 Marseille, France. doi: <http://dx.doi.org/10.15863/TAS.2014.06.14.10>
9. Tokmazov GV (2014) Mathematical modeling research skills in educational activity methods of probability theory// Materialy Mezhdunarodnoy nauchnoy konferenctsii "European Science and Technology" - 30.11.2014. ISJ Theoretical & Applied Science 11(20): 66-69 Southampton, United Kingdom. doi: <http://dx.doi.org/10.15863/TAS.2014.11.19.13>
10. Brazhnenko NA, et al. (1967) Collection of problems on the theoretical mechanics . M.: 1967. - pp.528.